Eingabe: Farbmetrisches Drucker-Reflektiv-System FRS06

für Buntton *h* = lab*h = 37/360 = 0.102*
*lab*tch* und *lab*nch*

D65: Buntton O
LCH*Ma: 33 78 37
olv*Ma: 1.0 0.0 0.0

Dreiecks-Helligkeit *t**

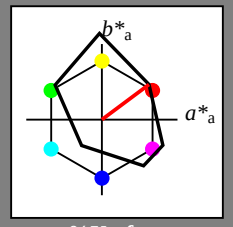

%Umfang

u*$_{rel}$ = 115

FRS06; adaptierte CIELAB-Daten

	L*=L*a	a*a	b*a	C*ab,a	h*ab,a
O_{Ma}	32.57	62.32	46.49	77.75	37
Y_{Ma}	82.73	−3.16	113.99	114.03	92
L_{Ma}	39.43	−61.79	45.84	76.95	143
C_{Ma}	47.86	−26.79	−34.24	43.49	232
V_{Ma}	10.16	55.12	−61.03	82.24	312
M_{Ma}	34.5	80.68	−33.92	87.52	337
N_{Ma}	6.25	0.0	0.0	0.0	0
W_{Ma}	91.97	0.0	0.0	0.0	0
R_{CIE}	39.92	59.8	31.05	67.38	27
J_{CIE}	81.26	−2.52	76.25	76.29	92
G_{CIE}	52.23	−41.56	17.14	44.96	158
B_{CIE}	30.57	2.63	−43.77	43.86	273

%Regularität

g*$_{H,rel}$ = 28

g*$_{C,rel}$ = 38

1,00
0,75
0,25
0,00

Schwarzheit *n**

*n** = 1,0
*n** = 0,50
*n** = 0,25
*n** = 0,00

0,25 0,50 0,75 1,00

relative Buntheit *c**

VG250−7, 5 stufige Reihen für konstanten CIELAB Buntton 37/360 = 0.102 (links)

Ausgabe: Farbmetrisches Drucker-Reflektiv-System FRS06

für Buntton *h* = lab*h = 37/360 = 0.102*
*lab*tch* und *lab*nch*

D65: Buntton O
LCH*Ma: 33 78 37
olv*Ma: 1.0 0.0 0.0

Dreiecks-Helligkeit *t**

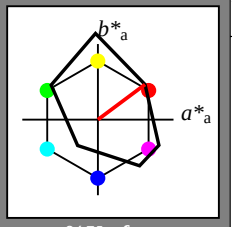

%Umfang

u*$_{rel}$ = 115

FRS06; adaptierte CIELAB-Daten

	L*=L*a	a*a	b*a	C*ab,a	h*ab,a
O_{Ma}	32.57	62.32	46.49	77.75	37
Y_{Ma}	82.73	−3.16	113.99	114.03	92
L_{Ma}	39.43	−61.79	45.84	76.95	143
C_{Ma}	47.86	−26.79	−34.24	43.49	232
V_{Ma}	10.16	55.12	−61.03	82.24	312
M_{Ma}	34.5	80.68	−33.92	87.52	337
N_{Ma}	6.25	0.0	0.0	0.0	0
W_{Ma}	91.97	0.0	0.0	0.0	0
R_{CIE}	39.92	59.8	31.05	67.38	27
J_{CIE}	81.26	−2.52	76.25	76.29	92
G_{CIE}	52.23	−41.56	17.14	44.96	158
B_{CIE}	30.57	2.63	−43.77	43.86	273

%Regularität

g*$_{H,rel}$ = 28

g*$_{C,rel}$ = 38

Schwarzheit *n**

*n** = 1,0
*n** = 0,50
*n** = 0,25
*n** = 0,00

0,25 0,50 0,75 1,00

relative Buntheit *c**

5 stufige Reihen für konstanten CIELAB Buntton 37/360 = 0.102 (rechts)

Eingabe: Farbmetrisches Drucker-Reflektiv-System FRS06

für Buntton *h* = lab*h = 92/360 = 0.254*
*lab*tch* und *lab*nch*

D65: Buntton Y
LCH*Ma: 83 114 92
olv*Ma: 1.0 1.0 0.0

Dreiecks-Helligkeit *t**

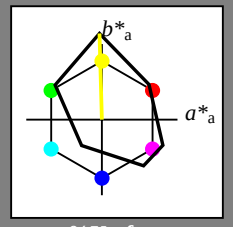

%Umfang

u*rel = 115

FRS06; adaptierte CIELAB-Daten

	L*=L*a	a*a	b*a	C*ab,a	h*ab,a
O_{Ma}	32.57	62.32	46.49	77.75	37
Y_{Ma}	82.73	−3.16	113.99	114.03	92
L_{Ma}	39.43	−61.79	45.84	76.95	143
C_{Ma}	47.86	−26.79	−34.24	43.49	232
V_{Ma}	10.16	55.12	−61.03	82.24	312
M_{Ma}	34.5	80.68	−33.92	87.52	337
N_{Ma}	6.25	0.0	0.0	0.0	0
W_{Ma}	91.97	0.0	0.0	0.0	0
R_{CIE}	39.92	59.8	31.05	67.38	27
J_{CIE}	81.26	−2.52	76.25	76.29	92
G_{CIE}	52.23	−41.56	17.14	44.96	158
B_{CIE}	30.57	2.63	−43.77	43.86	273

1,00

%Regularität

g*H,rel = 28

g*C,rel = 38

0,75

n* = 0,00

0,25

n* = 0,25

Schwarzheit *n**

n* = 0,50

0,00

0,25 0,50 0,75 1,00

relative Buntheit *c**

n* = 1,0

Ausgabe: Farbmetrisches Drucker-Reflektiv-System FRS06

für Buntton *h* = lab*h = 92/360 = 0.254*
*lab*tch* und *lab*nch*

D65: Buntton Y
LCH*Ma: 83 114 92
olv*Ma: 1.0 1.0 0.0

Dreiecks-Helligkeit *t**

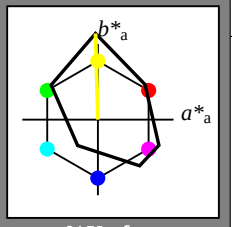

%Umfang

u*rel = 115

FRS06; adaptierte CIELAB-Daten

	L*=L*a	a*a	b*a	C*ab,a	h*ab,a
O_{Ma}	32.57	62.32	46.49	77.75	37
Y_{Ma}	82.73	−3.16	113.99	114.03	92
L_{Ma}	39.43	−61.79	45.84	76.95	143
C_{Ma}	47.86	−26.79	−34.24	43.49	232
V_{Ma}	10.16	55.12	−61.03	82.24	312
M_{Ma}	34.5	80.68	−33.92	87.52	337
N_{Ma}	6.25	0.0	0.0	0.0	0
W_{Ma}	91.97	0.0	0.0	0.0	0
R_{CIE}	39.92	59.8	31.05	67.38	27
J_{CIE}	81.26	−2.52	76.25	76.29	92
G_{CIE}	52.23	−41.56	17.14	44.96	158
B_{CIE}	30.57	2.63	−43.77	43.86	273

%Regularität

g*H,rel = 28

g*C,rel = 38

n* = 0,00

n* = 0,25

Schwarzheit *n**

n* = 0,50

0,25 0,50 0,75 1,00

relative Buntheit *c**

n* = 1,0

VG250−7, 5 stufige Reihen für konstanten CIELAB Buntton 92/360 = 0.254 (links)

5 stufige Reihen für konstanten CIELAB Buntton 92/360 = 0.254 (rechts)

BAM-Prüfvorlage VG25; Farbmetrik-Systeme FRS06 & FRS06 input: *olv* setrgbcolor*
D65: 2 Koordinatendaten; 5stufige Farbreihen für 10 Bunttöne output: *olv*' (TRI9) setrgbcolor*

Eingabe: Farbmetrisches Drucker-Reflektiv-System FRS06

für Buntton *h* = lab*h = 143/360 = 0.398*
*lab*tch* und *lab*nch*

D65: Buntton L
LCH*Ma: 39 77 143
olv*Ma: 0.0 1.0 0.0

Dreiecks-Helligkeit *t**

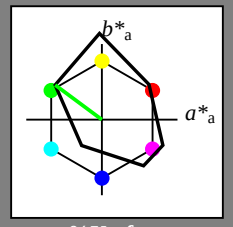

%Umfang

u*rel = 115

FRS06; adaptierte CIELAB-Daten

	L*=L*a	a*a	b*a	C*ab,a	h*ab,a
O_{Ma}	32.57	62.32	46.49	77.75	37
Y_{Ma}	82.73	−3.16	113.99	114.03	92
L_{Ma}	39.43	−61.79	45.84	76.95	143
C_{Ma}	47.86	−26.79	−34.24	43.49	232
V_{Ma}	10.16	55.12	−61.03	82.24	312
M_{Ma}	34.5	80.68	−33.92	87.52	337
N_{Ma}	6.25	0.0	0.0	0.0	0
W_{Ma}	91.97	0.0	0.0	0.0	0
R_{CIE}	39.92	59.8	31.05	67.38	27
J_{CIE}	81.26	−2.52	76.25	76.29	92
G_{CIE}	52.23	−41.56	17.14	44.96	158
B_{CIE}	30.57	2.63	−43.77	43.86	273

1,00

%Regularität

g*H,rel = 28

g*C,rel = 38

0,75

0,50

0,25

0,00

Schwarzheit *n**

*n** = 0,00

*n** = 0,25

*n** = 0,50

*n** = 1,0

0,25 0,50 0,75 1,00

relative Buntheit *c**

VG250−7, 5 stufige Reihen für konstanten CIELAB Buntton 143/360 = 0.398 (links)

Ausgabe: Farbmetrisches Drucker-Reflektiv-System FRS06

für Buntton *h* = lab*h = 143/360 = 0.398*
*lab*tch* und *lab*nch*

D65: Buntton L
LCH*Ma: 39 77 143
olv*Ma: 0.0 1.0 0.0

Dreiecks-Helligkeit *t**

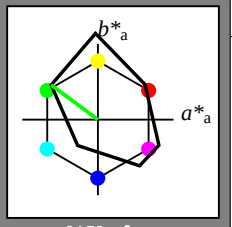

%Umfang

u*rel = 115

FRS06; adaptierte CIELAB-Daten

	L*=L*a	a*a	b*a	C*ab,a	h*ab,a
O_{Ma}	32.57	62.32	46.49	77.75	37
Y_{Ma}	82.73	−3.16	113.99	114.03	92
L_{Ma}	39.43	−61.79	45.84	76.95	143
C_{Ma}	47.86	−26.79	−34.24	43.49	232
V_{Ma}	10.16	55.12	−61.03	82.24	312
M_{Ma}	34.5	80.68	−33.92	87.52	337
N_{Ma}	6.25	0.0	0.0	0.0	0
W_{Ma}	91.97	0.0	0.0	0.0	0
R_{CIE}	39.92	59.8	31.05	67.38	27
J_{CIE}	81.26	−2.52	76.25	76.29	92
G_{CIE}	52.23	−41.56	17.14	44.96	158
B_{CIE}	30.57	2.63	−43.77	43.86	273

%Regularität

g*H,rel = 28

g*C,rel = 38

Schwarzheit *n**

*n** = 0,00

*n** = 0,25

*n** = 0,50

*n** = 1,0

0,25 0,50 0,75 1,00

relative Buntheit *c**

5 stufige Reihen für konstanten CIELAB Buntton 143/360 = 0.398 (rechts)

Eingabe: Farbmetrisches Drucker-Reflektiv-System FRS06

für Buntton *h* = lab*h = 232/360 = 0.644*
*lab*tch* und *lab*nch*

D65: Buntton C
LCH*Ma: 48 43 232
olv*Ma: 0.0 1.0 1.0

Dreiecks-Helligkeit *t**

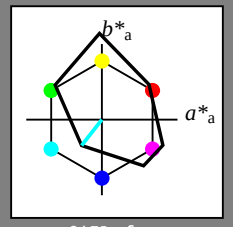

%Umfang

u*rel = 115

FRS06; adaptierte CIELAB-Daten

	L*=L*a	a*a	b*a	C*ab,a	h*ab,a
O_{Ma}	32.57	62.32	46.49	77.75	37
Y_{Ma}	82.73	−3.16	113.99	114.03	92
L_{Ma}	39.43	−61.79	45.84	76.95	143
C_{Ma}	47.86	−26.79	−34.24	43.49	232
V_{Ma}	10.16	55.12	−61.03	82.24	312
M_{Ma}	34.5	80.68	−33.92	87.52	337
N_{Ma}	6.25	0.0	0.0	0.0	0
W_{Ma}	91.97	0.0	0.0	0.0	0
R_{CIE}	39.92	59.8	31.05	67.38	27
J_{CIE}	81.26	−2.52	76.25	76.29	92
G_{CIE}	52.23	−41.56	17.14	44.96	158
B_{CIE}	30.57	2.63	−43.77	43.86	273

%Regularität

g*H,rel = 28

g*C,rel = 38

1,00
0,75
0,25
0,00

n = 0,00*
n = 0,25*
n = 0,50*
n = 1,0*

Schwarzheit *n**

0,25 0,50 0,75 1,00

relative Buntheit *c**

VG250−7, 5 stufige Reihen für konstanten CIELAB Buntton 232/360 = 0.644 (links)

Ausgabe: Farbmetrisches Drucker-Reflektiv-System FRS06

für Buntton *h* = lab*h = 232/360 = 0.644*
*lab*tch* und *lab*nch*

D65: Buntton C
LCH*Ma: 48 43 232
olv*Ma: 0.0 1.0 1.0

Dreiecks-Helligkeit *t**

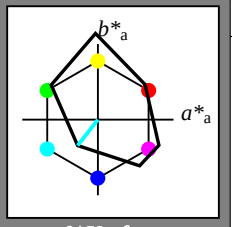

%Umfang

u*rel = 115

FRS06; adaptierte CIELAB-Daten

	L*=L*a	a*a	b*a	C*ab,a	h*ab,a
O_{Ma}	32.57	62.32	46.49	77.75	37
Y_{Ma}	82.73	−3.16	113.99	114.03	92
L_{Ma}	39.43	−61.79	45.84	76.95	143
C_{Ma}	47.86	−26.79	−34.24	43.49	232
V_{Ma}	10.16	55.12	−61.03	82.24	312
M_{Ma}	34.5	80.68	−33.92	87.52	337
N_{Ma}	6.25	0.0	0.0	0.0	0
W_{Ma}	91.97	0.0	0.0	0.0	0
R_{CIE}	39.92	59.8	31.05	67.38	27
J_{CIE}	81.26	−2.52	76.25	76.29	92
G_{CIE}	52.23	−41.56	17.14	44.96	158
B_{CIE}	30.57	2.63	−43.77	43.86	273

%Regularität

g*H,rel = 28

g*C,rel = 38

n = 0,00*
n = 0,25*
n = 0,50*
n = 1,0*

Schwarzheit *n**

0,25 0,50 0,75 1,00

relative Buntheit *c**

5 stufige Reihen für konstanten CIELAB Buntton 232/360 = 0.644 (rechts)

Eingabe: Farbmetrisches Drucker-Reflektiv-System FRS06

für Buntton *h* = lab*h = 312/360 = 0.867*
*lab*tch* und *lab*nch*

D65: Buntton V
LCH*Ma: 10 82 312
olv*Ma: 0.0 0.0 1.0

Dreiecks-Helligkeit *t**

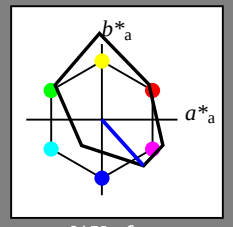

%Umfang
u*rel = 115

FRS06; adaptierte CIELAB-Daten

	L*=L*a	a*a	b*a	C*ab,a	h*ab,a
O_{Ma}	32.57	62.32	46.49	77.75	37
Y_{Ma}	82.73	−3.16	113.99	114.03	92
L_{Ma}	39.43	−61.79	45.84	76.95	143
C_{Ma}	47.86	−26.79	−34.24	43.49	232
V_{Ma}	10.16	55.12	−61.03	82.24	312
M_{Ma}	34.5	80.68	−33.92	87.52	337
N_{Ma}	6.25	0.0	0.0	0.0	0
W_{Ma}	91.97	0.0	0.0	0.0	0
R_{CIE}	39.92	59.8	31.05	67.38	27
J_{CIE}	81.26	−2.52	76.25	76.29	92
G_{CIE}	52.23	−41.56	17.14	44.96	158
B_{CIE}	30.57	2.63	−43.77	43.86	273

1,00
%Regularität
g*H,rel = 28
g*C,rel = 38
0,75
0,25
0,00
Schwarzheit *n**
n* = 0,00
n* = 0,25
n* = 0,50
n* = 1,0
0,25
0,50
0,75
1,00
relative Buntheit *c**

VG250−7, 5 stufige Reihen für konstanten CIELAB Buntton 312/360 = 0.867 (links)

Ausgabe: Farbmetrisches Drucker-Reflektiv-System FRS06

für Buntton *h* = lab*h = 312/360 = 0.867*
*lab*tch* und *lab*nch*

D65: Buntton V
LCH*Ma: 10 82 312
olv*Ma: 0.0 0.0 1.0

Dreiecks-Helligkeit *t**

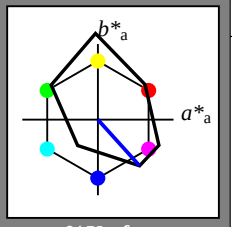

%Umfang
u*rel = 115

FRS06; adaptierte CIELAB-Daten

	L*=L*a	a*a	b*a	C*ab,a	h*ab,a
O_{Ma}	32.57	62.32	46.49	77.75	37
Y_{Ma}	82.73	−3.16	113.99	114.03	92
L_{Ma}	39.43	−61.79	45.84	76.95	143
C_{Ma}	47.86	−26.79	−34.24	43.49	232
V_{Ma}	10.16	55.12	−61.03	82.24	312
M_{Ma}	34.5	80.68	−33.92	87.52	337
N_{Ma}	6.25	0.0	0.0	0.0	0
W_{Ma}	91.97	0.0	0.0	0.0	0
R_{CIE}	39.92	59.8	31.05	67.38	27
J_{CIE}	81.26	−2.52	76.25	76.29	92
G_{CIE}	52.23	−41.56	17.14	44.96	158
B_{CIE}	30.57	2.63	−43.77	43.86	273

%Regularität
g*H,rel = 28
g*C,rel = 38
Schwarzheit *n**
relative Buntheit *c**

5 stufige Reihen für konstanten CIELAB Buntton 312/360 = 0.867 (rechts)

Eingabe: Farbmetrisches Drucker-Reflektiv-System FRS06

für Buntton *h* = lab*h = 337/360 = 0.937*
*lab*tch* und *lab*nch*

D65: Buntton M
LCH*Ma: 35 88 337
olv*Ma: 1.0 0.0 1.0

Dreiecks-Helligkeit *t**

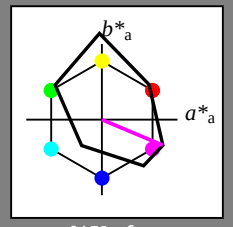

%Umfang

u*$_{rel}$ = 115

FRS06; adaptierte CIELAB-Daten

	L=L*$_a$*	*a*$_a$*	*b*$_a$*	*C*$_{ab,a}$*	*h*$_{ab,a}$*
O_{Ma}	32.57	62.32	46.49	77.75	37
Y_{Ma}	82.73	−3.16	113.99	114.03	92
L_{Ma}	39.43	−61.79	45.84	76.95	143
C_{Ma}	47.86	−26.79	−34.24	43.49	232
V_{Ma}	10.16	55.12	−61.03	82.24	312
M_{Ma}	34.5	80.68	−33.92	87.52	337
N_{Ma}	6.25	0.0	0.0	0.0	0
W_{Ma}	91.97	0.0	0.0	0.0	0
R_{CIE}	39.92	59.8	31.05	67.38	27
J_{CIE}	81.26	−2.52	76.25	76.29	92
G_{CIE}	52.23	−41.56	17.14	44.96	158
B_{CIE}	30.57	2.63	−43.77	43.86	273

%Regularität

g*$_{H,rel}$ = 28

g*$_{C,rel}$ = 38

1,00
0,75
0,25
0,00

n = 0,00*
n = 0,25*
n = 0,50*
n = 1,0*

Schwarzheit *n**

0,25 0,50 0,75 1,00

relative Buntheit *c**

VG250−7, 5 stufige Reihen für konstanten CIELAB Buntton 337/360 = 0.937 (links)

Ausgabe: Farbmetrisches Drucker-Reflektiv-System FRS06

für Buntton *h* = lab*h = 337/360 = 0.937*
*lab*tch* und *lab*nch*

D65: Buntton M
LCH*Ma: 35 88 337
olv*Ma: 1.0 0.0 1.0

Dreiecks-Helligkeit *t**

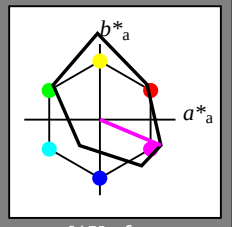

%Umfang

u*$_{rel}$ = 115

FRS06; adaptierte CIELAB-Daten

	L=L*$_a$*	*a*$_a$*	*b*$_a$*	*C*$_{ab,a}$*	*h*$_{ab,a}$*
O_{Ma}	32.57	62.32	46.49	77.75	37
Y_{Ma}	82.73	−3.16	113.99	114.03	92
L_{Ma}	39.43	−61.79	45.84	76.95	143
C_{Ma}	47.86	−26.79	−34.24	43.49	232
V_{Ma}	10.16	55.12	−61.03	82.24	312
M_{Ma}	34.5	80.68	−33.92	87.52	337
N_{Ma}	6.25	0.0	0.0	0.0	0
W_{Ma}	91.97	0.0	0.0	0.0	0
R_{CIE}	39.92	59.8	31.05	67.38	27
J_{CIE}	81.26	−2.52	76.25	76.29	92
G_{CIE}	52.23	−41.56	17.14	44.96	158
B_{CIE}	30.57	2.63	−43.77	43.86	273

%Regularität

g*$_{H,rel}$ = 28

g*$_{C,rel}$ = 38

n = 0,00*
n = 0,25*
n = 0,50*
n = 1,0*

Schwarzheit *n**

0,25 0,50 0,75 1,00

relative Buntheit *c**

5 stufige Reihen für konstanten CIELAB Buntton 337/360 = 0.937 (rechts)

Eingabe: Farbmetrisches Drucker-Reflektiv-System FRS06

für Buntton *h* = lab*h = 27/360 = 0.076*
*lab*tch* und *lab*nch*

D65: Buntton R
LCH*Ma: 33 73 27
olv*Ma: 1.0 0.0 0.16

Dreiecks-Helligkeit *t**

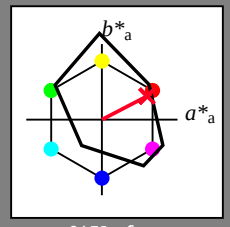

%Umfang

u*rel = 115

FRS06; adaptierte CIELAB-Daten

	L*=L*a	a*a	b*a	C*ab,a	h*ab,a
O_{Ma}	32.57	62.32	46.49	77.75	37
Y_{Ma}	82.73	−3.16	113.99	114.03	92
L_{Ma}	39.43	−61.79	45.84	76.95	143
C_{Ma}	47.86	−26.79	−34.24	43.49	232
V_{Ma}	10.16	55.12	−61.03	82.24	312
M_{Ma}	34.5	80.68	−33.92	87.52	337
N_{Ma}	6.25	0.0	0.0	0.0	0
W_{Ma}	91.97	0.0	0.0	0.0	0
R_{CIE}	39.92	59.8	31.05	67.38	27
J_{CIE}	81.26	−2.52	76.25	76.29	92
G_{CIE}	52.23	−41.56	17.14	44.96	158
B_{CIE}	30.57	2.63	−43.77	43.86	273

1,00

%Regularität

g*H,rel = 28

g*C,rel = 38

0,75

0,50

0,25

0,00

Schwarzheit *n**

*n** = 1,0 *n** = 0,50 *n** = 0,25 *n** = 0,00

0,25 0,50 0,75 1,00

relative Buntheit *c**

VG250−7, 5 stufige Reihen für konstanten CIELAB Buntton 27/360 = 0.076 (links)

Ausgabe: Farbmetrisches Drucker-Reflektiv-System FRS06

für Buntton *h* = lab*h = 27/360 = 0.076*
*lab*tch* und *lab*nch*

D65: Buntton R
LCH*Ma: 33 73 27
olv*Ma: 1.0 0.0 0.16

Dreiecks-Helligkeit *t**

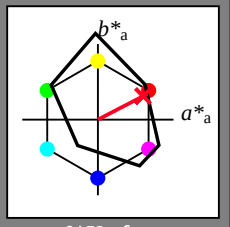

%Umfang

u*rel = 115

FRS06; adaptierte CIELAB-Daten

	L*=L*a	a*a	b*a	C*ab,a	h*ab,a
O_{Ma}	32.57	62.32	46.49	77.75	37
Y_{Ma}	82.73	−3.16	113.99	114.03	92
L_{Ma}	39.43	−61.79	45.84	76.95	143
C_{Ma}	47.86	−26.79	−34.24	43.49	232
V_{Ma}	10.16	55.12	−61.03	82.24	312
M_{Ma}	34.5	80.68	−33.92	87.52	337
N_{Ma}	6.25	0.0	0.0	0.0	0
W_{Ma}	91.97	0.0	0.0	0.0	0
R_{CIE}	39.92	59.8	31.05	67.38	27
J_{CIE}	81.26	−2.52	76.25	76.29	92
G_{CIE}	52.23	−41.56	17.14	44.96	158
B_{CIE}	30.57	2.63	−43.77	43.86	273

%Regularität

g*H,rel = 28

g*C,rel = 38

Schwarzheit *n**

*n** = 1,0 *n** = 0,50 *n** = 0,25 *n** = 0,00

0,25 0,50 0,75 1,00

relative Buntheit *c**

5 stufige Reihen für konstanten CIELAB Buntton 27/360 = 0.076 (rechts)

Eingabe: Farbmetrisches Drucker-Reflektiv-System FRS06
für Buntton *h* = lab*h = 92/360 = 0.255*
*lab*tch* und *lab*nch*

D65: Buntton J
LCH*Ma: 82 113 92
olv*Ma: 0.99 1.0 0.0

Dreiecks-Helligkeit *t**

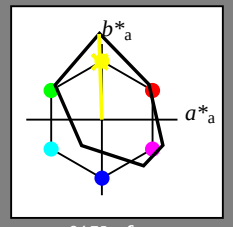

%Umfang
u*rel = 115

FRS06; adaptierte CIELAB-Daten

	L*=L*a	a*a	b*a	C*ab,a	h*ab,a
O_{Ma}	32.57	62.32	46.49	77.75	37
Y_{Ma}	82.73	−3.16	113.99	114.03	92
L_{Ma}	39.43	−61.79	45.84	76.95	143
C_{Ma}	47.86	−26.79	−34.24	43.49	232
V_{Ma}	10.16	55.12	−61.03	82.24	312
M_{Ma}	34.5	80.68	−33.92	87.52	337
N_{Ma}	6.25	0.0	0.0	0.0	0
W_{Ma}	91.97	0.0	0.0	0.0	0
R_{CIE}	39.92	59.8	31.05	67.38	27
J_{CIE}	81.26	−2.52	76.25	76.29	92
G_{CIE}	52.23	−41.56	17.14	44.96	158
B_{CIE}	30.57	2.63	−43.77	43.86	273

%Regularität
g*H,rel = 28
g*C,rel = 38

1,00
0,75
0,50
0,25
0,00

Schwarzheit *n**

*n** = 1,0 *n** = 0,50 *n** = 0,25 *n** = 0,00

0,25 0,50 0,75 1,00

relative Buntheit *c**

VG250−7, 5 stufige Reihen für konstanten CIELAB Buntton 92/360 = 0.255 (links)

Ausgabe: Farbmetrisches Drucker-Reflektiv-System FRS06
für Buntton *h* = lab*h = 92/360 = 0.255*
*lab*tch* und *lab*nch*

D65: Buntton J
LCH*Ma: 82 113 92
olv*Ma: 0.99 1.0 0.0

Dreiecks-Helligkeit *t**

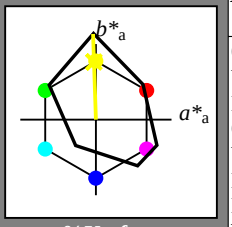

%Umfang
u*rel = 115

FRS06; adaptierte CIELAB-Daten

	L*=L*a	a*a	b*a	C*ab,a	h*ab,a
O_{Ma}	32.57	62.32	46.49	77.75	37
Y_{Ma}	82.73	−3.16	113.99	114.03	92
L_{Ma}	39.43	−61.79	45.84	76.95	143
C_{Ma}	47.86	−26.79	−34.24	43.49	232
V_{Ma}	10.16	55.12	−61.03	82.24	312
M_{Ma}	34.5	80.68	−33.92	87.52	337
N_{Ma}	6.25	0.0	0.0	0.0	0
W_{Ma}	91.97	0.0	0.0	0.0	0
R_{CIE}	39.92	59.8	31.05	67.38	27
J_{CIE}	81.26	−2.52	76.25	76.29	92
G_{CIE}	52.23	−41.56	17.14	44.96	158
B_{CIE}	30.57	2.63	−43.77	43.86	273

%Regularität
g*H,rel = 28
g*C,rel = 38

Schwarzheit *n**

*n** = 1,0 *n** = 0,50 *n** = 0,25 *n** = 0,00

relative Buntheit *c**

5 stufige Reihen für konstanten CIELAB Buntton 92/360 = 0.255 (rechts)

Eingabe: Farbmetrisches Drucker-Reflektiv-System FRS06
für Buntton *h* = lab*h = 158/360 = 0.438*
*lab*tch* und *lab*nch*

D65: Buntton G
LCH*Ma: 42 55 158
olv*Ma: 0.0 1.0 0.31

Dreiecks-Helligkeit *t**

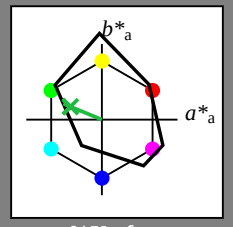

%Umfang
u*$_{rel}$ = 115

%Regularität
g*$_{H,rel}$ = 28
g*$_{C,rel}$ = 38

FRS06; adaptierte CIELAB-Daten

	L*=L*a	a*a	b*a	C*ab,a	h*ab,a
O_{Ma}	32.57	62.32	46.49	77.75	37
Y_{Ma}	82.73	−3.16	113.99	114.03	92
L_{Ma}	39.43	−61.79	45.84	76.95	143
C_{Ma}	47.86	−26.79	−34.24	43.49	232
V_{Ma}	10.16	55.12	−61.03	82.24	312
M_{Ma}	34.5	80.68	−33.92	87.52	337
N_{Ma}	6.25	0.0	0.0	0.0	0
W_{Ma}	91.97	0.0	0.0	0.0	0
R_{CIE}	39.92	59.8	31.05	67.38	27
J_{CIE}	81.26	−2.52	76.25	76.29	92
G_{CIE}	52.23	−41.56	17.14	44.96	158
B_{CIE}	30.57	2.63	−43.77	43.86	273

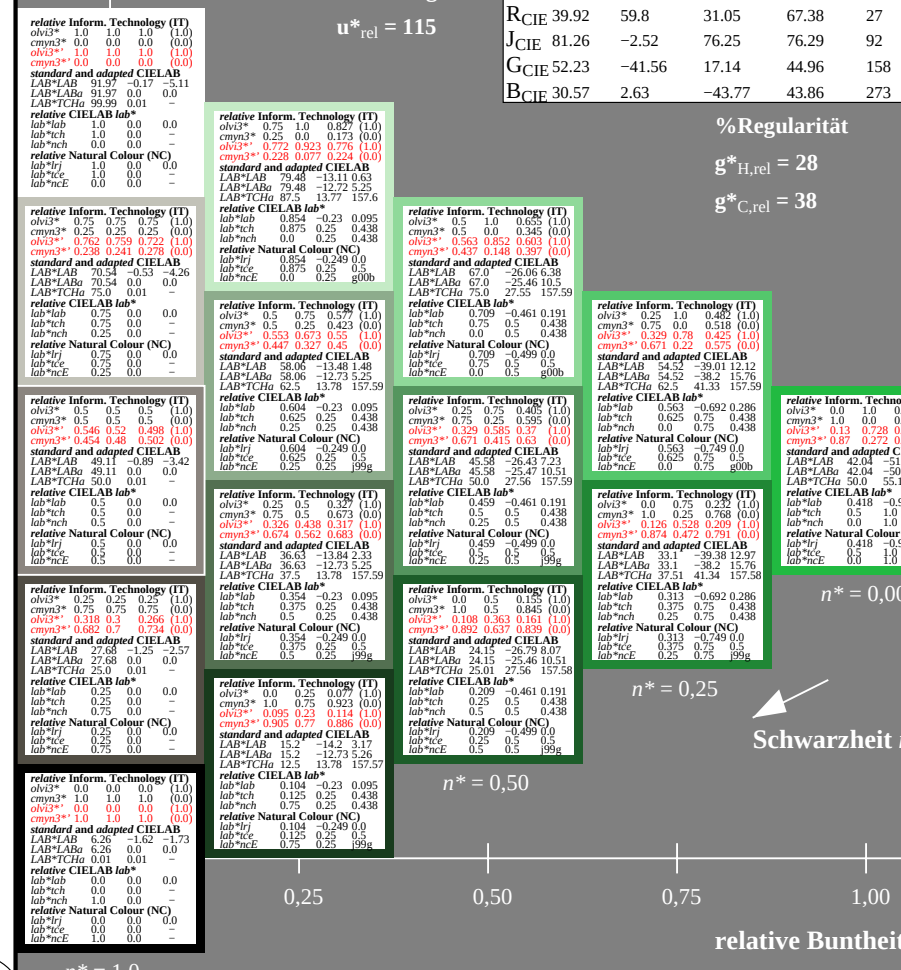

VG250−7, 5 stufige Reihen für konstanten CIELAB Buntton 158/360 = 0.438 (links)

Ausgabe: Farbmetrisches Drucker-Reflektiv-System FRS06
für Buntton *h* = lab*h = 158/360 = 0.438*
*lab*tch* und *lab*nch*

D65: Buntton G
LCH*Ma: 42 55 158
olv*Ma: 0.0 1.0 0.31

Dreiecks-Helligkeit *t**

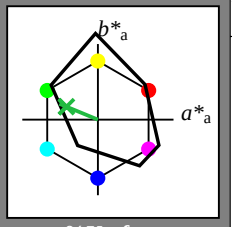

%Umfang
u*$_{rel}$ = 115

%Regularität
g*$_{H,rel}$ = 28
g*$_{C,rel}$ = 38

FRS06; adaptierte CIELAB-Daten

	L*=L*a	a*a	b*a	C*ab,a	h*ab,a
O_{Ma}	32.57	62.32	46.49	77.75	37
Y_{Ma}	82.73	−3.16	113.99	114.03	92
L_{Ma}	39.43	−61.79	45.84	76.95	143
C_{Ma}	47.86	−26.79	−34.24	43.49	232
V_{Ma}	10.16	55.12	−61.03	82.24	312
M_{Ma}	34.5	80.68	−33.92	87.52	337
N_{Ma}	6.25	0.0	0.0	0.0	0
W_{Ma}	91.97	0.0	0.0	0.0	0
R_{CIE}	39.92	59.8	31.05	67.38	27
J_{CIE}	81.26	−2.52	76.25	76.29	92
G_{CIE}	52.23	−41.56	17.14	44.96	158
B_{CIE}	30.57	2.63	−43.77	43.86	273

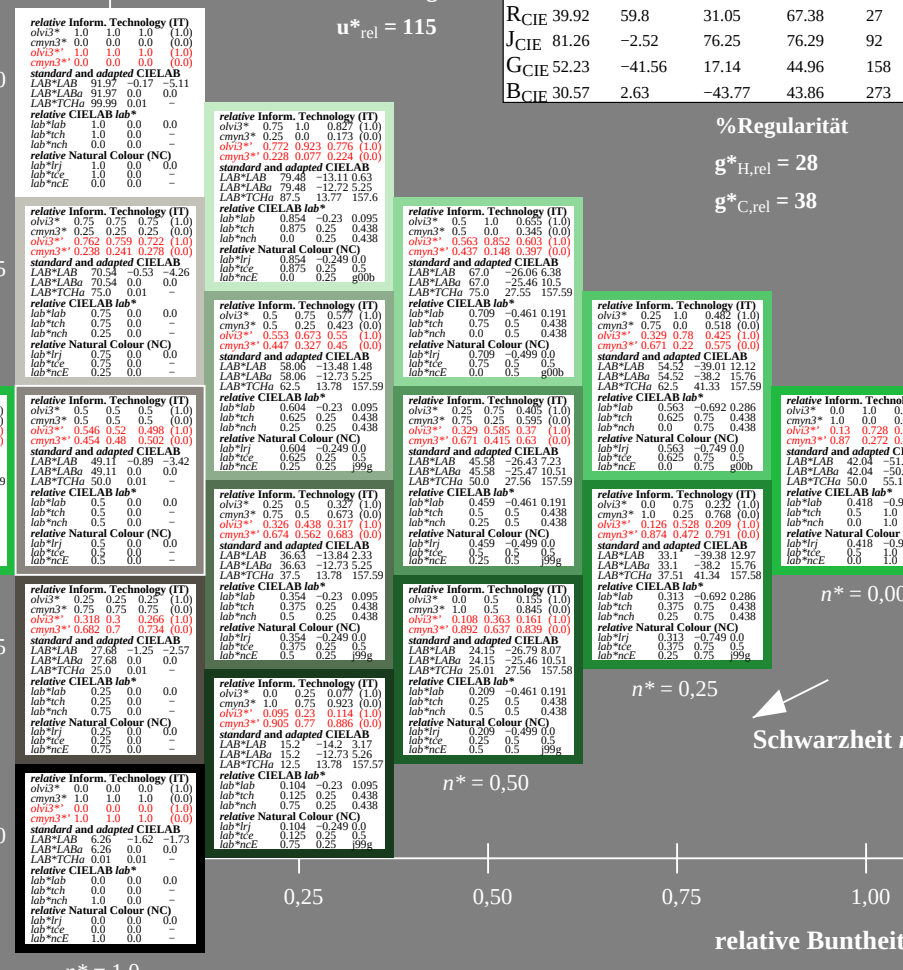

5 stufige Reihen für konstanten CIELAB Buntton 158/360 = 0.438 (rechts)

Eingabe: Farbmetrisches Drucker-Reflektiv-System FRS06

für Buntton *h* = lab*h = 273/360 = 0.76*
*lab*tch* und *lab*nch*

D65: Buntton B
LCH*Ma: 34 44 273
olv*Ma: 0.0 0.64 1.0

Dreiecks-Helligkeit *t**

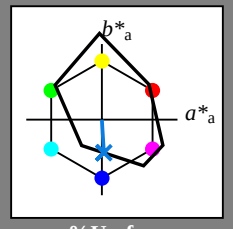

%Umfang

u*$_{rel}$ = 115

FRS06; adaptierte CIELAB-Daten

	L*=L*a	a*a	b*a	C*ab,a	h*ab,a
O_{Ma}	32.57	62.32	46.49	77.75	37
Y_{Ma}	82.73	−3.16	113.99	114.03	92
L_{Ma}	39.43	−61.79	45.84	76.95	143
C_{Ma}	47.86	−26.79	−34.24	43.49	232
V_{Ma}	10.16	55.12	−61.03	82.24	312
M_{Ma}	34.5	80.68	−33.92	87.52	337
N_{Ma}	6.25	0.0	0.0	0.0	0
W_{Ma}	91.97	0.0	0.0	0.0	0
R_{CIE}	39.92	59.8	31.05	67.38	27
J_{CIE}	81.26	−2.52	76.25	76.29	92
G_{CIE}	52.23	−41.56	17.14	44.96	158
B_{CIE}	30.57	2.63	−43.77	43.86	273

%Regularität

g*$_{H,rel}$ = 28

g*$_{C,rel}$ = 38

1,00
0,75
0,25
0,00

n = 0,00*
n = 0,25*
n = 0,50*
n = 1,0*

Schwarzheit *n**

0,25 0,50 0,75 1,00

relative Buntheit *c**

Ausgabe: Farbmetrisches Drucker-Reflektiv-System FRS06

für Buntton *h* = lab*h = 273/360 = 0.76*
*lab*tch* und *lab*nch*

D65: Buntton B
LCH*Ma: 34 44 273
olv*Ma: 0.0 0.64 1.0

Dreiecks-Helligkeit *t**

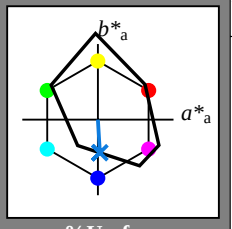

%Umfang

u*$_{rel}$ = 115

FRS06; adaptierte CIELAB-Daten

	L*=L*a	a*a	b*a	C*ab,a	h*ab,a
O_{Ma}	32.57	62.32	46.49	77.75	37
Y_{Ma}	82.73	−3.16	113.99	114.03	92
L_{Ma}	39.43	−61.79	45.84	76.95	143
C_{Ma}	47.86	−26.79	−34.24	43.49	232
V_{Ma}	10.16	55.12	−61.03	82.24	312
M_{Ma}	34.5	80.68	−33.92	87.52	337
N_{Ma}	6.25	0.0	0.0	0.0	0
W_{Ma}	91.97	0.0	0.0	0.0	0
R_{CIE}	39.92	59.8	31.05	67.38	27
J_{CIE}	81.26	−2.52	76.25	76.29	92
G_{CIE}	52.23	−41.56	17.14	44.96	158
B_{CIE}	30.57	2.63	−43.77	43.86	273

%Regularität

g*$_{H,rel}$ = 28

g*$_{C,rel}$ = 38

n = 0,00*
n = 0,25*
n = 0,50*
n = 1,0*

Schwarzheit *n**

0,25 0,50 0,75 1,00

relative Buntheit *c**

VG250−7, 5 stufige Reihen für konstanten CIELAB Buntton 273/360 = 0.76 (links)

5 stufige Reihen für konstanten CIELAB Buntton 273/360 = 0.76 (rechts)